

Итак, количественные характеристики потери устойчивости, полученные в данной работе для существенно двумерного основного течения, достаточно хорошо совпадают с известными результатами Линя и других авторов для течения в пограничном слое на плоской пластинке, которое считалось параллельным. Это дает основание при определении критических характеристик устойчивости в пограничном слое не учитывать зависимость профиля скорости стационарного движения жидкости от координаты x .

Поступило 1 XII 1967

ЛИТЕРАТУРА

- Линь Цзя-цзяо. Теория гидродинамической устойчивости. М., Изд-во иностр. лит., 1958.
- Комаров А. М. О развитии возмущений течения вязкой жидкости в плоском канале. Изв. АН СССР, Механика и машиностроение, 1964, № 6.
- Комаров А. М. Применение метода типа Галеркина для исследования развития возмущений течения вязкой жидкости в плоском канале. Вестн. Моск. ун-та, сер. матем. механ. астроном., 1959, № 2.
- Петров Г. И. Применение метода Галеркина к задаче об устойчивости течения вязкой жидкости. ПММ, нов. серия, 1940, т. 4, выш. 3.
- Tollmien W. Über die Entstehung der Turbulenz, Ges. Wiss. Cöttingen, Math. Phys., 1929, klasse Nachr., pp. 21—44.
- Shen S. F. Calculated amplified oscillations in the plane poisenille and blassius flow. J. Aeronaut. Sci., 1954, vol. 21, No. 1, pp. 62—64.

ОБ ОДНОМ ТОЧНОМ РЕШЕНИИ ОДНОМЕРНЫХ УРАВНЕНИЙ НАВЬЕ — СТОКСА

В. Н. ГУСЕВ, А. В. ЖБАКОВА

(Москва)

Одномерные стационарные течения вязкого, теплопроводного газа рассматриваются ранее в ряде работ. В случае стока, например, этим исследованиям посвящены работы [1, 2]. В работе [1] задача решалась в предположении, что коэффициенты вязкости μ и теплопроводности k постоянны, а число Прандтля имеет некоторое фиксированное значение. В работе [2] решение для плоского стока строится в двух случаях. В первом предполагается, что газ вязкий, но нетеплопроводный ($\mu = \text{const}$, $k = 0$), а во втором — невязкий, но теплопроводный ($\mu = 0$, $k = \text{const}$). В данной работе исследуется течение от сферического стока при конечном значении давления на бесконечности в предположении, что коэффициенты вязкости и теплопроводности зависят от температуры по степенному закону, число Прандтля постоянно.

1. Система одномерных уравнений Навье — Стокса для вязкого теплопроводного газа в случае сферической симметрии имеет вид

$$\rho u r^2 = \text{const}$$

$$\rho u \frac{du}{dr} + \frac{dp}{dr} = \frac{4}{3} \mu \left[\frac{d^2 u}{dr^2} + \frac{2}{r} \frac{du}{dr} - \frac{2u}{r^2} \right] + \frac{4}{3} \frac{d\mu}{dr} \left[\frac{du}{dr} - \frac{u}{r} \right]. \quad (1.1)$$

$$r^2 \left[\rho u \left(\frac{\kappa}{\kappa-1} RT + \frac{u^2}{2} \right) - \mu \frac{d}{dr} \left(\frac{\kappa}{\kappa-1} \frac{RT}{\sigma} + u^2 \right) + \frac{2}{3} \frac{\mu u}{r^2} \frac{d}{dr} (r^2 u) \right] = \text{const}$$

Здесь u — скорость газа, ρ , p , T — соответственно, плотность, давление и температура, r — расстояние от центра симметрии, μ — коэффициент вязкости, R — газовая постоянная, κ — отношение удельных теплоемкостей, σ — число Прандтля.

Система (1.1) замыкается заданием уравнения состояния и зависимостью коэффициента вязкости от температуры. В нашем случае

$$p = \rho R T, \quad \mu \sim T^n \quad (1.2)$$

Приведем систему (1.1) и (1.2) к безразмерному виду. Введем следующие размernые константы: $Q = 4\pi \rho u r^2$ — расход газа, p_∞ , ρ_∞ , T_∞ , μ_∞ — значения давления, плотности, температуры и коэффициента вязкости при $r = \infty$. Безразмерные величины определим следующим образом

$$w = \frac{u}{\sqrt{\kappa R T_\infty}}, \quad \bar{p} = \frac{p}{p_\infty}, \quad \bar{\rho} = \frac{\rho}{\rho_\infty} = \frac{RT_\infty}{p_\infty} \rho, \quad \theta = \frac{T}{T_\infty} \quad (1.3)$$

$$\bar{u} = \frac{\mu}{\mu_\infty} = \theta^n, \quad y = \frac{l}{r} = \left[\frac{|Q| \sqrt{\kappa R T_\infty}}{4\pi \kappa p_\infty} \right]^{1/2} \frac{1}{r}$$

После исключения давления и плотности при помощи уравнений неразрывности и состояния система (1.1) и (1.2) с учетом (1.3) может быть аналогично [3] приведена к следующему безразмерному виду:

$$\begin{aligned} (\kappa w^2 - \theta) w' + w\theta' + \frac{2w\theta}{y} = \\ = - \frac{\kappa w^{2n}}{C} \left(w'' - \frac{2w}{y} \right) - \frac{n\kappa w^{2n-1}\theta'}{C} \left(w' + \frac{w}{y} \right) \\ \theta + \frac{\kappa-1}{2} \left(1 + \frac{2\theta^n}{Cy} \right) w^2 + \frac{\theta^n}{C} \left[\frac{3\theta'}{4\sigma} + (\kappa-1)ww' \right] = a \quad \left(C = \frac{3Q}{16\mu_\infty l} \right) \end{aligned} \quad (1.4)$$

Здесь a — некоторая безразмерная константа, смысл которой будет установлен позже, штрихом обозначено дифференцирование по независимой переменной y . При $C > 0$ газ движется от центра симметрии (источника), а при $C < 0$ — к центру (сток).

Решение системы (1.4) в окрестности точки $y = 0$, для которого давление стремится к конечному значению, имеет следующий вид:

$$\begin{aligned} w = y^2(a_0 + a_1y + a_2y^2 + \dots) \\ \theta = b_0 + b_1y + b_2y^2 + \dots \end{aligned} \quad (1.5)$$

Из уравнения неразрывности $Q = 4\pi\mu r^2 u$ и граничного условия для температуры $T = T_\infty$ при $y = 0$ следует $a_0 = b_0 = 1$. Последующие коэффициенты этих рядов определяются однозначно через параметры a , C , κ , n и σ , например,

$$a_1 = b_1 = \frac{4}{3}\sigma C(a-1)$$

$$a_2 = b_2 = -\frac{8}{9}\sigma^2 C^2(a-1)[1+n(a-1)]$$

Выясним теперь смысл входящей в систему (1.4) константы a . Для этого выпишем выражение для количества тепла, проходящего через сферическую поверхность в единицу времени

$$q = -\frac{4\pi\mu c_p}{4\sigma C} r^2 \frac{dT}{dr} = \frac{3c_p T_\infty Q}{\sigma} \theta^n \theta' \quad (1.6)$$

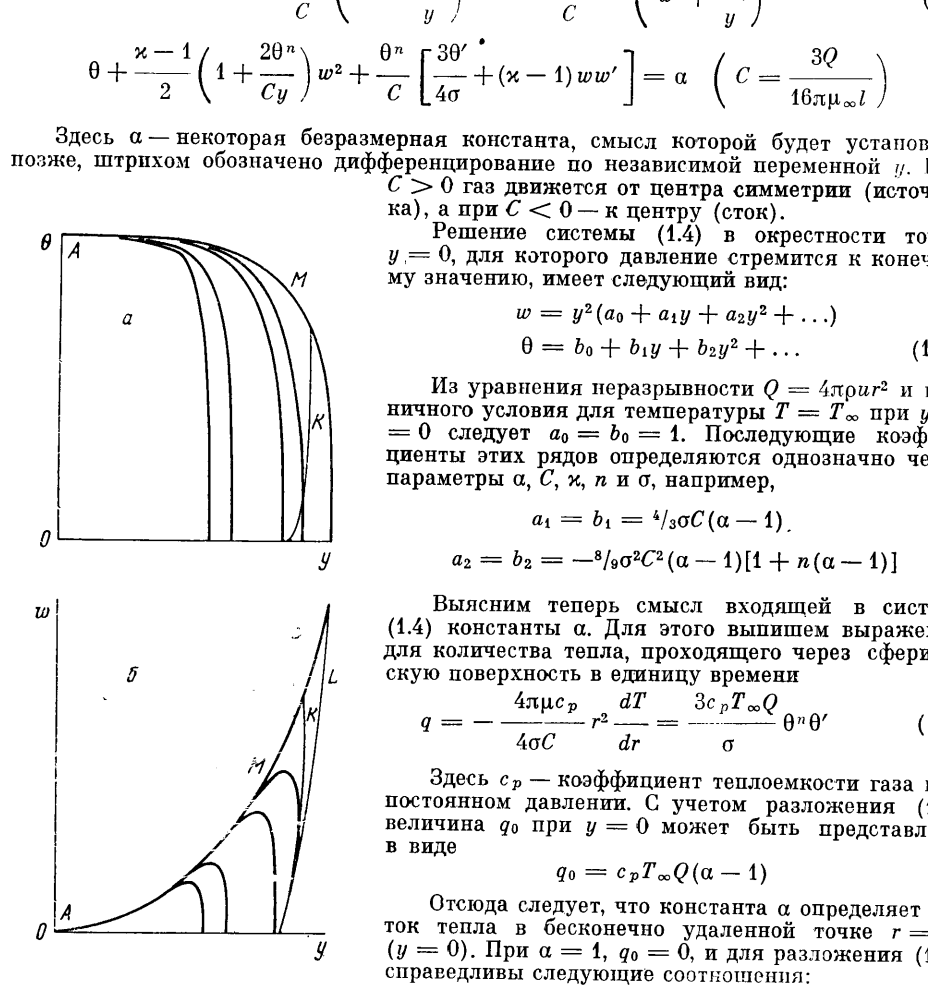
Здесь c_p — коэффициент теплоемкости газа при постоянном давлении. С учетом разложения (1.5) величина q_0 при $y = 0$ может быть представлена в виде

$$q_0 = c_p T_\infty Q(a-1)$$

Отсюда следует, что константа a определяет поток тепла в бесконечно удаленной точке $r = \infty$ ($y = 0$). При $a = 1$, $q_0 = 0$, и для разложения (1.5) справедливы следующие соотношения:

$$a_1 = b_1 = a_2 = b_2 = a_3 = b_3 = 0$$

$$a_4 = \frac{1}{2}[\kappa - 2\sigma(\kappa-1)], \quad b_4 = -\sigma(\kappa-1) \text{ и т. д.}$$



Фиг. 1

2. Рассмотрим течение от сферического стока ($C < 0$) при $a = 1$. Исследуем основные свойства системы (1.4). Общая картина поля интегральных кривых в зависимости от параметра C при $n = 1$, $\kappa = 7/5$ и $\sigma = 3/4$ представлена на фиг. 1: в переменных θ , y — на фиг. 1, a , в переменных w , y — на фиг. 1, b . Все интегральные кривые на фигуре выходят из точки A , соответствующей бесконечно удаленной точке $r = \infty$ ($y = 0$). При приближении к центру симметрии $r \rightarrow 0$ ($y \rightarrow \infty$) температура θ монотонно убывает, обращаясь в нуль при конечном значении $y = y_*$ (фиг. 1, a). В плоскости (wy) условие $\theta = 0$ выполняется на предельной линии, состоящей из отрезка оси y и кривой L (фиг. 1, b). В окрестности этой линии функции w и θ при $n = 1$ имеют следующее разложение:

$$w = w_* + c_1(y_* - y)^{1/2} + \dots, \quad \theta = d_1(y_* - y)^{1/2} + \dots \quad (2.1)$$

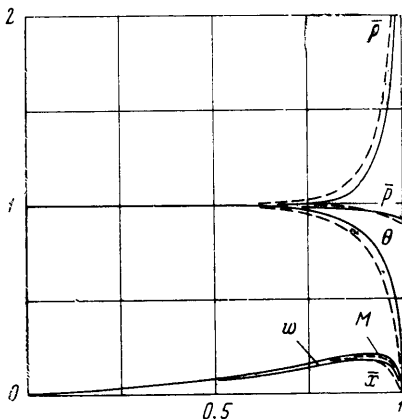
Для входящих в эти выражения коэффициентов справедливо соотношение

$$\frac{\kappa - 1}{2} w_*^2 - \frac{3}{8\sigma C} d_1^2 - \frac{\kappa - 1}{2C} w_* c_1 d_1 = a$$

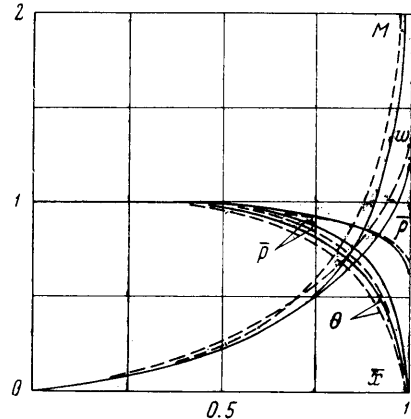
Область определения решения ограничена предельной линией и огибающей M (фиг. 1), соответствующей решению системы (1.4) при $C = 0$. С ростом параметра C ордината предельной линии y_* уменьшается, обращаясь в нуль при стремлении $C \rightarrow \infty$.

Система уравнений (1.4) решалась численно на ЭВМ. В окрестности точки $y = 0$ решение представлялось рядом (1.5), коэффициенты которого вычислялись методом [4]. В дальнейшем, начиная с некоторого конечного y , интегрирование проводилось методом Рунге — Кutta. В окрестности точки $y = y_*$ численное решение склеивалось с асимптотическим (2.1), в результате чего определялись коэффициенты w_* , c_1 , d_1 .

Как показали расчеты, в зависимости от параметра C течение в окрестности предельной линии было либо дозвуковым, либо сверхзвуковым. В первом случае $w_* = 0$,



Фиг. 2



Фиг. 3

и в плоскости (wy) предельная линия для этого класса интегральных кривых представляла собой отрезок оси y (фиг. 4, б). Во всем поле течения скорость газа была дозвуковой. Во втором случае $w_* \neq 0$, и предельная линия для этого класса интегральных кривых была кривая L (фиг. 1, б). Течение в этом случае состояло из двух областей: дозвуковой и сверхзвуковой. Переход через скорость звука происходил на кривой K (фиг. 1).

Введем понятие длины свободного пробега молекул при $r = \infty$:

$$\lambda_\infty = \frac{16}{5\sqrt{2}\pi} \frac{\mu_\infty \sqrt{RT_\infty}}{p_\infty}$$

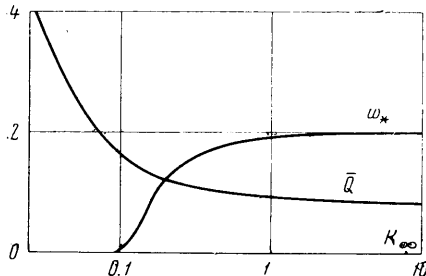
В качестве характерного размера течения примем радиус предельной линии $r_* = y_* l$. Тогда параметр C однозначно определит число Кнудсена

$$K_\infty = \frac{r_*}{l} = \frac{12\sqrt{\kappa} y_*}{5\sqrt{2}\pi |C|}$$

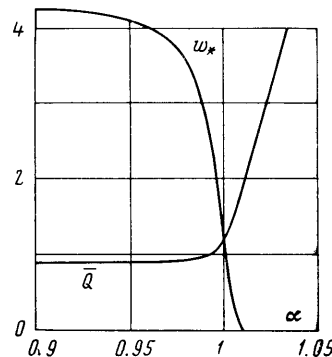
При двух значениях этого числа $K_\infty = 0.0286$ и 0.208 результаты численных расчетов представлены на фиг. 2, 3 (сплошные кривые). На них приведены зависимости скорости w , температуры θ , давления \bar{p} , плотности ρ и числа Маха M потока от координаты $\bar{x} = r_* / r$ при $n = 1$, $\kappa = 7/5$, $\sigma = 3/4$. При $K_\infty = 0.0286$ (фиг. 2) течение относится к случаю, когда в окрестности предельной линии и скорость, и температура потока обращаются в нуль. В этом случае при $\bar{x} \rightarrow 1$ давление остается конечным, а плотность — неограниченно возрастает. При другом значении числа $K_\infty = 0.208$ (фиг. 3) скорость и плотность потока в окрестности предельной линии остаются конечными, а давление и температура стремятся к нулю. При приближении к центру симметрии число Маха неограниченно возрастает. При отличие от идеального стока здесь оказывается возможным непрерывный переход от дозвуковой скорости к сверхзвуковой.

Физический смысл полученного здесь решения можно мыслить себе как установленное вязкого теплопроводного газа, возникающее при помещении в неограниченное пространство сферического тела радиуса r_* , температура поверхности которого равна нулю. Суммарная интенсивность стока $\bar{Q} = Q / 4\pi r_*^2 \rho_\infty \sqrt{\kappa RT_\infty}$ в за-

висимости от числа K_∞ приведена на фиг. 4. Там же даны значения скорости w_* при $r = r_*$. При $K_\infty \gtrless 0.1$ $w_* = 0$, и в этой области интенсивность \bar{Q} увеличива-



Фиг. 4



Фиг. 5

вается по мере уменьшения числа K_∞ . При $K_\infty \gtrsim 0.1$ скорость w_* остается конечной. Ее величина за счет диссипативных процессов оказывается меньше соответствующей максимальной скорости для невязкого потока при температуре торможения T_∞ .

Представленные выше результаты получены в предположении, что справедливы уравнения Навье — Стокса. Очевидно, что с ростом числа K_∞ область, в которой эти уравнения справедливы, ограничена. Для того чтобы определить границу применимости уравнений Навье — Стокса, найдем ту область, в которой отношение дополнительных членов в уравнениях Барнетта к членам в уравнениях Навье — Стокса, обусловленных наличием вязкости, становится величиной порядка единицы [3]. Согласно [5], указанное отношение при $n = 1$ будет

$$\beta = \frac{\mu}{p} \frac{du}{dr} \sim \frac{1}{C} ww' \sim \frac{K_\infty ww'}{y_*} \quad (2.2)$$

Из (2.2) с учетом (2.1) следует, что отношение β в окрестности предельной линии остается постоянным при $w_* = 0$ и неограниченно возрастает при $w_* \neq 0$. Однако, как показывают численные расчеты, в обоих случаях можно найти такое \bar{x}_0 , начиная с которого при $\bar{x} < \bar{x}_0$, величина $\beta < 0.1$. Иными словами, в рассматриваемом течении всегда можно указать область, в которой полученное решение уравнений Навье — Стокса соответствует истине.

3. Аналогичные рассмотрения можно провести при других значениях параметров.

Влияние показателя степени n проиллюстрировано на фиг. 2, 3, где при двух значениях числа $K_\infty = 0.0297$ (фиг. 2) и 0.220 (фиг. 3) приведены зависимости параметров потока от координаты \bar{x} при $n = 1/2$, $\kappa = 7/5$, $\sigma = 3/4$ (пунктирные кривые). Как показывает сравнение, изменение закона вязкости не приводит к существенным изменениям в поле течения.

Интересные свойства течения обнаруживаются при $\alpha \neq 1$, т. е. при подводе ($\alpha > 1$) или отводе ($\alpha < 1$) тепла в бесконечно удаленной точке $r = \infty$ ($y = 0$). Интенсивность стока \bar{Q} и значение скорости w_* при $r = r_*$ в зависимости от α при $C = -5$, $n = 1$, $\kappa = 7/5$, $\sigma = 3/4$ приведены на фиг. 5. При $\alpha < 1$ отвод тепла приводит к существенному росту скорости w_* . В этом случае энергия стока переходит в энергию упорядоченного движения молекул. При $\alpha > 1$ скорость w_* быстро обращается в нуль.

В заключение авторы благодарят В. С. Галкина, М. Н. Когана и В. С. Николаева за полезные обсуждения.

Поступило 22 V 1967

ЛИТЕРАТУРА

1. Wu T. Two dimensional sink flow of a viscous, compressible fluid; heat-conducting cylindrical shock waves. Quart. of Applied Math., 1956, vol. 13, No. 4.
2. Проснак В. Ударная волна в двумерном радиальном газовом потоке. Сб. пер. «Механика». Изд. иностр. лит., 1957, № 6.
3. Ладыженский М. Д. Об истечении вязкого газа в пустоту. ПММ, 1962, т. 26, вып. 4.
4. Николаев В. С. Решение систем обыкновенных дифференциальных уравнений методом разложения в степенные ряды на быстродействующих вычислительных машинах. Ж. вычисл. матем. и матем. физ., 1965.
5. Tsiien H. S. Superaerodynamics Mechanics of Rarefield Gases. J. Aeronaut Sci., 1946, vol. 13, No. 12.